



# مجله علمی پژوهشی مکانیک سازه ها و شاره ها

بررسی آزمایشگاهی تاثیر انواع مختلف زائدات گردابه روی عملکرد مبدل‌های حرارتی پره‌لوله‌ای آب-هوای استفاده از تحلیل اگزرزی

محسن قاضی خانی<sup>۱</sup>, عمام نوری فر<sup>۲</sup> و احمد شرف بایگی<sup>۳\*</sup>

<sup>۱</sup>دانشیار، گروه مکانیک، دانشکده مهندسی، دانشگاه فردوسی مشهد

<sup>۲</sup>کارشناس ارشد، گروه مکانیک، دانشکده مهندسی، دانشگاه فردوسی مشهد

<sup>۳</sup>کارشناس ارشد، گروه مکانیک، دانشکده مهندسی، دانشگاه فردوسی مشهد

## چکیده

در این مقاله تاثیر سه نوع مختلف زائدات گردابه، شامل زائدات ۱- چهار وجهی گوهای شکل؛ ۲- مستطیلی بلوكی شکل؛ ۳- مثلثی بالهای شکل، روی یک مبدل حرارتی پره‌لوله‌ای و با استفاده از تحلیل اگزرزی و بصورت آزمایشگاهی بررسی شده است. در این آزمایش برای به جریان درآوردن هوا از روی مبدل حرارتی پره‌لوله‌ای، از یک سیستم تونل باد استفاده شده است. آب گرم نیز با دبی ثابت و محدوده‌ی تغییرات دمای ورودی بین ۴۴ تا ۶۸ درجه سانتیگراد، و در حالت پایا درون لوله‌ها به گردش درمی‌آید. نتایج نشان می‌دهد که استفاده از این زائدات، نسبت بازگشت‌نایزدیری سمت هوا به نرخ انتقال حرارت را کاهش می‌دهد که این کاهش در مورد زائدات بلوكی شکل بیشتر از دو نوع زائدات دیگر است. برای آشکار شدن تاثیرات انواع زائدات روی عملکرد مبدل حرارتی، از کمیت جدید دیگری به نام کارآبی زائدات گردابه (PVG)، استفاده شده است. نتایج نشان می‌دهد که این کمیت دارای مقادیر کمتر از ۵٪ برای زائدات گوهای شکل تا بیش از ۳۵٪ برای زائدات بلوكی شکل است که نشان‌دهنده‌ی تاثیر مثبت انواع زائدات بخصوص زائدات بلوكی شکل روی عملکرد مبدل حرارتی است.

**کلمات کلیدی:** بازگشت‌نایزدیری؛ اگزرزی؛ مبدل حرارتی؛ زائد؛ کارآبی؛ انتقال حرارت.

## Experimental investigation of different kinds of vortex generator on a gas liquid finned-tube heat exchanger using exergy analysis

M. Ghazikhani<sup>1</sup>, E. Noorifar<sup>2</sup> and A. Sharaf<sup>3,\*</sup>

<sup>1</sup>Assoc. Prof., Mech. Eng., Ferdowsi Univ., Mashhad, Iran

<sup>2</sup>M.Sc., Mech. Eng., Ferdowsi Univ., Mashhad, Iran

<sup>3</sup>M.Sc., Mech. Eng., Ferdowsi Univ., Mashhad, Iran

### Abstract

In this study a fin-tube heat exchanger with different kinds of vortex generator has been studied experimentally, using exergy method. Three kinds of vortex generator have been employed: 1-Tetrahedral wedge shape 2-Rectangular block shape 3-Triangular winglet shape. In this research we used a wind tunnel to produce wind flow over heat exchanger in the range of 0.054 kg/s to 0.069 kg/s. hot water was circulating with the steady volume flow rate of 240 L/h and temperature range of 44 to 68 celsius in the system. The results shows that use of these VGs will decrease the air side irreversibility to heat transfer ratio (ASIHR) in the air region and for a heat exchanger with block shape VGs, this reduction is more than the other two types. To reveal the effects of various VGs on heat exchanger performance with respect to reducing ASIHR, a quantity is used namely performance of vortex generator (PVG). The results showed that PVG values are in the range of less than 5% for wedge-shaped VG's to over 35% for block-shaped VG's which represents the good effects of VGs especially block-shaped ones on the heat exchanger performance.

**Keywords:** Irreversibility; Exergy; Heat exchanger; Performance; Heat transfer.

## ۱- مقدمه

چن<sup>۲</sup> و همکاران [۱۲ و ۱۳] تاثیر زائدات بالهای دلتا، که بر روی سطح پانچ شده‌اند را برای یک مبدل حرارت پرهولهای با لوله‌های بیضوی شکل در دو آرایش متفاوت پشت سرهم و یکدرمیان برسی کردند. آنها دریافتند که نسبت بهبود انتقال حرارت به زیان ناشی از تلفات جریان برای آرایش پشت سرهم زائدات، حدود یکدرصد ولی برای موضوع نشان داد آرایش یکدرمیان زائدات شرایط انتقال حرارت را بیشتر بهبود می‌بخشد.

کتیشوگلو<sup>۳</sup> و همکاران [۱۴]، به بررسی قانون دوم ترمودینامیک برای یک مبدل جریان متقطع و در حضور نوع جدیدی از زائدات تولید گردابه بلوكی‌شکل پرداختند. آنها فهمیدند که افزایش سرعت جریان متقطع، نرخ انتقال حرارت را بهبود می‌بخشد و بازگشت‌نایزی انتقال حرارت را کاهش می‌دهد و همچنین در اعداد رینولدز بالا این زائدات میزان اختلاط را داخل کانال مبدل حرارت بهبود می‌دهند. آنها افزایش ۱۵ تا ۳۰ درصدی برای انتقال حرارت و نیز افزایش افت فشار ۲۰ تا ۳۰ درصدی را برای مبدل حرارت با زائدات و بدون زائدات تولید گردابه ثبت کردند.

لیو<sup>۴</sup> و همکاران [۱۵]، به بررسی آزمایشگاهی و عددی انتقال حرارت در مبدل‌های صفحه پرهولهای با حضور زائدات تولید گردابه بلوكی‌شکل و با زوایای قرارگیری متفاوت و در محدودیت عدد رینولدز ۴۰۰ تا ۳۰۰۰ پرداختند. آنها نشان دادند که بکارگیری این زائدات قادر خواهد بود که گردابه‌های طولی را در مناطق ویک ایجاد کند که این موضوع کارآیی انتقال حرارت مبدل حرارتی را افزایش می‌دهد. آنها همچنین بیان کردند که زاویه قرارگیری ۴۵ درجه برای زائدات بلوكی‌شکل بیشترین افزایش را در انتقال حرارت ایجاد می‌کند.

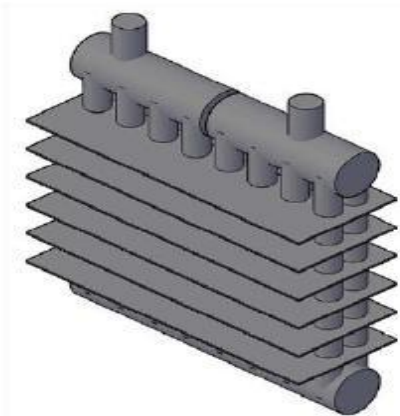
فیبیگ و والنسیا<sup>۵</sup> [۱۶-۱۷]، به کاربرد زائداتی تولید گردابه بالهای دلتا و بالهای مستطیلی در یک مبدل حرارتی پرهولهای پرداختند. مطالعات آنها شامل بررسی پارامترهای هندسی مختلف در مورد زائدات مانند نسبت اضلاع زائدات و

مبدل‌های حرارتی پرهولهای بطور وسیعی در زمینه‌های مختلف از قبیل تولید نیرو، تبرید، سیستم‌های تهویه، خودروها و صنایع شیمیایی کاربرد دارند. در این نوع مبدل‌ها مقاومت حرارتی سمت هوا بخش مهمی از مقاومت حرارتی کلی را شامل می‌شود [۱]. بنابراین برای بهبود کارآیی این نوع مبدل‌های حرارتی، بهبود دادن انتقال حرارت از روی سطح پره‌ها ضروری است. به منظور کاهش مقاومت حرارتی سمت هوامدل‌های مختلفی از پره‌ها مانند: پره‌های موج دار [۴-۲]، دندانه‌دار [۵]، بادگیردار [۶-۸]، شکافدار [۹]، پشت بندهای جدا [۱۰] و غیره استفاده می‌شوند. این روش‌ها اگرچه موجب بهبود قابل توجه انتقال حرارت می‌شوند اما افت فشار زیادی را نیز بهمراه دارند.

روش دیگری که برای بهبود شرایط انتقال حرارت سمت هوا در مبدل‌های پره ای مورد توجه قرار گرفته است، بکار بردن انواع مختلف زائداتی تولید گردابه بر روی سطح پره‌ها در مسیر اصلی جریان است. تولید کننده‌های گردابه به شکل بر جستگی‌های کوچکی هستند که به طرق مختلف مانند قالب‌گیری، پانچ کردن و یا عملیات مختلف نصب کردن روی سطح پره‌ها در مسیر جریان قرار می‌گیرند. این زائدات گردابه‌هایی طولی را ایجاد می‌کنند که موجب چرخش جریان اولیه شده و میزان اختلاط را در نواحی پایین دست جریان افزایش می‌دهند. علاوه بر این، زائدات‌ها الگوی جریان ثانویه را نیز تعیین می‌کنند. بدین ترتیب در این زائدات بهبود شرایط انتقال حرارت با افزایش نسبتاً کم میزان افت فشار همراه است.

بیسوواس<sup>۱</sup> و همکاران [۱۱]، تحقیقات عددی خود را برای بهبود انتقال حرارت در یک کانال با لوله‌های دایروی ساخته شده در آن، و با حضور زائدات بالهای شکل، ارائه کردند. آنها نشان دادند که به دلیل تولید گردابه‌های طولی در ناحیه ویک پشت لوله‌ها، انتقال حرارت می‌تواند تا ۲۴۰٪ افزایش داشته باشد که این موضوع می‌تواند کمک بزرگی برای کاهش اندازه مبدل حرارتی باشد.

<sup>2</sup> Chen<sup>3</sup> Kotcioglu<sup>4</sup> Leu<sup>5</sup> Fiebig and Valencia<sup>۱</sup> Biswas



شکل ۱- تصویر کلی مبدل حرارتی پره‌لوله‌ای

شکل ۲ طرح شماتیک قسمتی از بستر آزمایش مورد استفاده را نشان می‌دهد. همانطور که در شکل می‌بینیم، این سیستم شامل یک تونل باد می‌باشد که بواسطه یک فن با سرعت متغیر و قابل تنظیم که در انتهای تونل تعییه شده است، برای به جریان درآوردن هوای محیط در دبی‌های مختلف از روی پره‌های مبدل حرارتی استفاده می‌شود. مجرای ورودی هوا در تونل باد به شکل مستطیل و سطح مقطع  $0.317 \text{ m}^2$  می‌باشد. از مواردی که در مورد جریان هوا باید اندازه‌گیری شود، دبی جرمی جریان هوا و نیز افت فشار ایجاد شده در جریان هوا در حین عبور از مبدل حرارتی است. برای این منظور از دو میکرومتر تفاضلی که یکی برای اندازه‌گیری دبی جرمی هوا با استفاده از سیستم اوریفیس و دیگری برای ثبت افت فشار هوا، استفاده شده است. برای به جریان درآوردن آب گرم در مدار مربوط به آن نیز از یک پمپ گریز از مرکز استفاده می‌شود. این پمپ، آبی را که از شبکه‌ی توزیع گرفته شده و در یک مخزن آب دارای شیر شناور نگهداری می‌شود، به یک گرمکن الکتریکی فرستاده و در آنجا آب مورد نیاز حرارت می‌بیند و گرم می‌شود. این عمل توسط یک ترموستات بخاری برقی صورت می‌گیرد. برای اندازه‌گیری دبی جرمی آب از یک روتامتر با دقت  $5 \text{ L/h}$  استفاده شده است در حالیکه برای تنظیم دبی آب و البته کنترل نوسانات آن از یک شیر اتصال کوتاه که در کنار پمپ است استفاده می‌شود. برای ثبت افت فشار آب در حین عبور از لوله‌های مبدل نیز از مانومتر جیوه ای U شکل با دقت  $0.1 \text{ cm-Hg}$  استفاده

زاویه حمله می‌باشد. آنها نشان دادند که نسبت انتقال حرارت به تلفات جریان، زمانی که از زانده‌های دلتا با زاویه حمله  $30^\circ$  درجه و نسبت اضلاع  $2$  استفاده می‌شود بیشتر است. در حالت آرایش پشت سرهم لوله‌ها، استفاده از زانده‌های تولید گردابه، انتقال حرارت را بین  $45\%$  تا  $55\%$  افزایش می‌دهد در حالیکه منجر به افزایش  $20\%$  تا  $45\%$  در فاکتور اصطکاک می‌گردد.

در این تحقیق بررسی آزمایشگاهی تاثیر سه نوع مختلف زائد تولید گردابه شامل:  $1$ - چهاروجهی گوهای شکل؛  $2$ - مستطیلی بلوكی شکل؛  $3$ - مثلثی بالهای شکل، روی یک مبدل حرارت پره‌لوله‌ای، بوسیله‌ی تحلیل اگرژی انجام می‌شود.

تفاوت کار حاضر با تحقیقات گذشته علاوه بر خصوصیات فیزیکی از قبیل تفاوت در نوع مبدل‌های حرارتی و نحوه قرارگیری زانده‌ها از نظر همگرایی و واگرایی، در تحلیل بازگشت‌ناپذیری انجام شده، مقایسه بازگشت‌ناپذیریهای سمت آب و هوا بطور مجزا، مقایسه راندمان‌های قانون اول و دوم، بررسی انتقال حرارت در دبی‌های مختلف جریان هوا، مقایسه جامع سه نوع زانده‌ی تولید گردابه رایج در مبدل‌های حرارتی و از همه مهمتر معروفی کمیت جدید کارآبی زائد تولید گردابه بعنوان معیاری مناسب برای بررسی همزمان نرخ انتقال حرارت و بازگشت‌ناپذیری سمت هوا، می‌باشد.

## ۲- فراهم کردن بستر آزمایش

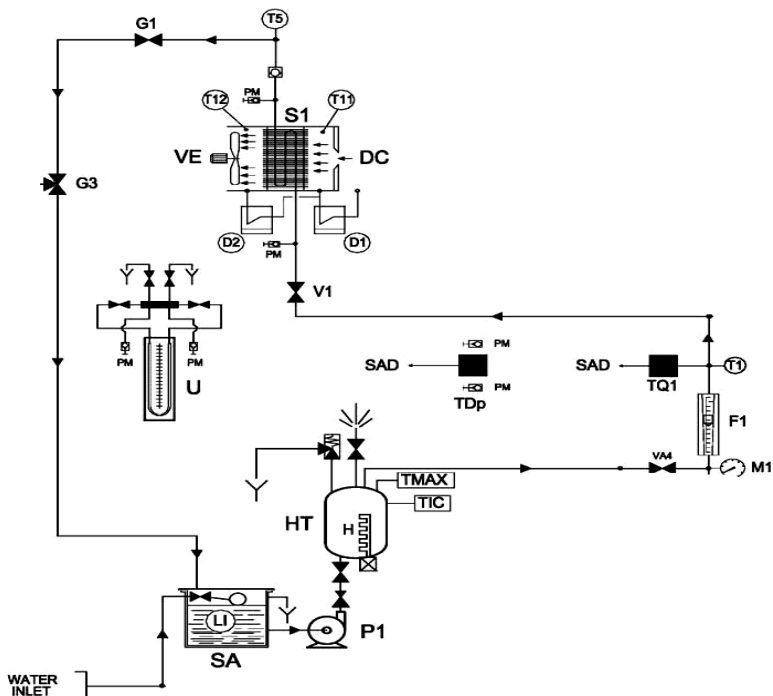
شکل ۱ شکل هندسی مبدل حرارتی را نشان می‌دهد. این مبدل حرارت شامل شش عدد پرهی صفحه مستطیلی مسطح با ضخامت  $1 \text{ mm}$  و نیز شانزده عدد لوله‌ی مسی در دو ردیف با آرایش پشت سرهم بعنوان لوله‌های مبدل حرارتی می‌باشد. ضخامت هر یک از این لوله‌های مسی  $1 \text{ mm}$  و قطر خارجی آنها نیز  $2.8 \text{ mm}$  می‌باشد. همچنین سه کالکتور ساخته شده از جنس مس و با قطر خارجی  $2.8 \text{ mm}$  در بالا و پایین مبدل حرارت محل عبور آب داغ می‌باشد. طول کل مبدل  $185 \text{ mm}$  و عرض آن  $170 \text{ mm}$  می‌باشد و فاصله هر دو پره متواالی  $20 \text{ mm}$  است.

خروجی به مبدل را نشان می‌دهد. برای جلوگیری از اتلاف گرما تمام لوله‌های ورودی و خروجی مبدل و نیز گرمکن حرارتی و مخزن آب کاملاً عایق بندی شده‌اند که در شکل این عایق بندی برای لوله‌ها مشخص است.

در شکل ۴ مبدل حرارتی به همراه یک نوع از زائددهای نصب شده روی آن و همچنین نحوه قرارگیری مبدل در تونل باد نشان داده شده است. مجرای باد بکار رفته از دو قسمت تشکیل شده است که در شرایطی که نیاز به خارج کردن مبدل برای نصب زائددها باشد، این دو قسمت از یکدیگر جدا شده و مبدل خارج می‌شود.

می‌شود. برای بررسی میزان انتقال حرارت و تعیین بازگشت‌ناپذیریهای مختلف نیاز به ثبت داده‌های دمایی برای جریان‌های هوا و آب در ورود و خروج به مبدل داریم. برای این منظور ترموموکوپل‌های مقاومت گرمایی pt100 بکار گرفته شده است. ترموموکوپل‌های مقاومت گرمایی یک دقت عالی را در محدوده‌ی وسیعی از دمایا در اختیار می‌گذارند. ترموموکوپل‌های بکار رفته در دستگاه به یک سیستم دیجیتالی ثبت دما با دقت  $0.1^{\circ}\text{C}$  با دامنه تغییرات تا  $99.9^{\circ}\text{C}$  متصل هستند.

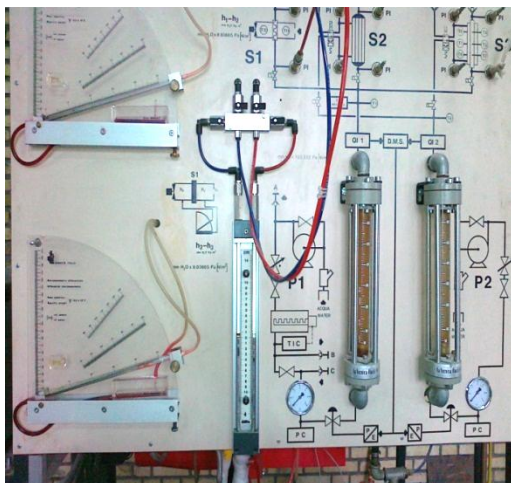
شکل ۳ نمایی از تونل باد را به همراه لوله‌های ورودی و



شکل ۲- نمای شماتیک از بستر تست. (DC) دیافراگم کالبیره شده در ورود هوا؛ (D1) میکرومانتور تفاضلی برای اندازه‌گیری دبی هوا؛ (D2) میکرومانتور تفاضلی برای اندازه‌گیری افت فشار هوا؛ (F1) روتاتور برای اندازه‌گیری دبی آب گرم؛ (H) هیتر الکتریکی؛ (M1) گیج فشار آب گرم؛ (P1) پمپ گریز از مرکز؛ (SA) مخزن آب شبکه؛ (S1) مبدل حرارتی پره‌لوله‌ای؛ (TIC) ترموموستات هیتر؛ (TMAX) ترموموستات ماکزیمم دمای مطمئنه آب گرم؛ (T1...T12) ترموموکوپل‌های مقاومت گرمایی برای اندازه‌گیری دمایا؛ (U) مانومتر برای اندازه‌گیری افت فشار آب؛ (VE) فن هوا با سرعت متغیر؛ (L1) شناور مخزن

در شکل ۵ تابلوی اندازه‌گیری<sup>۱</sup> داده‌های مبدل حرارتی را می‌توان مشاهده کرد. روی این تابلو میکرو مانومترهای تفاضلی برای اندازه‌گیری دبی جرمی و افت فشار هوا (سمت چپ تصویر)، مانومتر جیوه‌ای U شکل برای اندازه‌گیری افت فشار آب (وسط تصویر) و همچنین روتامتر برای اندازه‌گیری دبی جرمی آب گرم (سمت راست تصویر)، تعییه شده است. داده‌های خوانده شده از این وسایل پس از تبدیل واحدهای مناسب برای بکارگیری در روابط محاسباتی تحلیل داده‌ها، مورد استفاده قرار می‌گیرد.

در شکل ۶ جعبه کنترل مبدل حرارتی نشان داده شده است. روی این جعبه پیچ چرخان ترموموپل های مقاومتی برای مشاهده دمای قسمتهای مختلف به همراه صفحه دیجیتالی نمایشگر دما، پیچ چرخان برای کنترل و تنظیم قدرت فن سرعت متغیر، سوئیچ روشن و خاموش کردن پمپ آب و در نهایت کلید خاموش کردن اضطراری سیستم مبدل و پمپ‌ها قرار دارد.



شکل ۵- تابلوی اندازه‌گیری داده‌های مبدل حرارتی

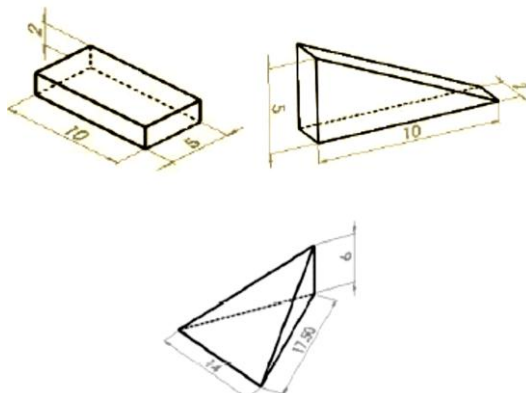


شکل ۳- نمای جانبی تونل باد با لوله‌های ورود و خروج آب  
مبدل



شکل ۴- مبدل حرارتی به همراه زائددها و استقرار آن در  
تونل باد

<sup>۱</sup> Measurement Panel



شکل ۷- مشخصات هندسی زائدۀ‌های تولید گردابه

۴۵ و بالهای با زاویه ۳۵ درجه نسبت به خط افقی روی پره‌ها نصب شده‌اند. این زاویه‌ها و نیز نسبت اضلاع زائدۀ‌ها بترتیب بر اساس گزارش‌های مراجع [۱۵ و ۱۸] برای نصب بهینه این زائدۀ‌ها می‌باشد، هرچند هدف اصلی در این مقاله مقایسه تاثیر این سه نوع زائدۀ بخصوص است.

آزمایش‌های انجام شده و بدنبال آن داده‌برداری‌های صورت گرفته از مبدل حرارتی در دوازده حالت مختلف صورت گرفته است که شامل داده‌برداری در حالت پره مسطح بدون زائدۀ تولید گردابه و نیز با نصب انواع زائدۀ‌ها می‌باشد. در تمامی آزمایشات هوای محیط با استفاده از یک فن از روی پره‌های مبدل حرارتی و با سه دمی جرمی مختلف kg/s ۰/۰۶۳ kg/s، ۰/۰۵۴ kg/s و ۰/۰۶۹ kg/s عبور داده می‌شود، در حالیکه درون لوله‌های مبدل حرارتی آب گرم با دمی ثابت ۲۴۰ L/h جریان دارد. دمای ورودی آب گرم در اثر عبور از مبدل و تبادل حرارت از ۴۴ تا ۶۸ درجه سانتیگراد تغییر می‌کند و در همین حین دمای برداری صورت می‌گیرد. در هر بار اندازه‌گیری علاوه بر دمای‌های ورودی و خروجی هوا و خروجی آب، افت فشارهای هر دو سیال و نیز دما و فشار محیط نیز ثبت می‌گردد.

### ۳- تحلیل داده‌ها

برای محاسبه‌ی نرخ انتقال حرارت در دو سمت هوا و آب، بترتیب از روابط (۱) و (۲) استفاده می‌شود.

$$q_{air} = \dot{m}_{air} c_p (T_{ao} - T_{ai}) \quad (1)$$

$$q_{water} = \dot{m}_{water} c (T_{wi} - T_{wo}) \quad (2)$$


شکل ۶- جعبه کنترل سیستم مبدل حرارتی

در شکل ۷، شکل هندسی زائدۀ‌های بکاررفته برای تولید گردابه بهمراه ابعاد آنها می‌باشد. زائدۀ‌ها از چوب MDF که عایق حرارتی می‌باشد ساخته شده‌اند و بر روی سطح پره‌ها نصب شده‌اند. (تمامی ابعاد بر حسب میلی‌متر هستند). لازم به ذکر است که این سه نوع زائدۀ تولید گردابه از رایج‌ترین زائدۀ‌های مورد استفاده در کارهای تحقیقاتی است، و این مهم دلیل انتخاب این سه نوع زائدۀ در تحقیق حاضر است. مکانیزم زائدۀ‌های تولید گردابه به اینصورت است که در اثر عبور جریان از روی این زائدۀ‌ها، گردابه‌های طولی چرخش متقابل القا می‌شود که این گردابه‌ها بواسطه تولید ناآرامی در جریان و بدنبال آن افزایش ضریب انتقال حرارت، یک ناحیه بهبود انتقال حرارت را در پایین دست جریان ایجاد می‌کنند. جریان اطراف لبه‌های زائدۀ به یک گردابه ثانویه منجر می‌شود که در جهت مخالف گردابه‌ی اصلی چرخش می‌کند. در نهایت یک گردابه‌ی نعل اسپی کوچکتر، که با حرکت جریان به سمت محل اتصال زائدۀ به دیواره القاء می‌شود اتفاق می‌افتد.

شکل ۸، نمای برش خورده از مبدل حرارتی در حالیکه زائدۀ‌های تولید گردابه روی آن نصب شده‌اند را نشان می‌دهد. در این شکل همچنین شیوه و محل نصب زائدۀ‌ها روی پره‌های مبدل نیز مشخص است. زائدۀ‌های بلوکی با زاویه

با فرض حالت پایا برای جریان سیالات و نیز نرخ انتقال حرارت و همچنین ثابت بودن خصوصیات فیزیکی سیال، با توجه به اینکه انتقال حرارت به محیط اطراف ناچیز است، اگررژی مخصوص جریانی بصورت زیر محاسبه می‌شود :

$$e = (h - h_{\infty}) - T_{\infty}(s - s_{\infty}) \quad (5)$$

که در آن  $h$  بیانگر آنتالپی و  $s$  انتروپی سیال است و زیرنویس  $\infty$  به شرایط محیط اطراف اشاره دارد.

با توجه به رابطه (۵) و استفاده از روابط ترمودینامیکی، و نیز استفاده از دماهای ثبت شده ورودی و خروجی برای آب و هوا، می‌توان تغییر نرخ اگررژی آب و هوا را به ترتیب بصورت زیر نوشت [۱۹] :

$$\Delta \dot{E}_{air} = \dot{m}_{air} [c_p \left( T_{ao} - T_{ai} - T_{\infty} \ln \frac{T_{ao}}{T_{ai}} \right) - T_{\infty} \tilde{R} \frac{\Delta P_a}{P_{ai}}] \quad (6)$$

$$\Delta \dot{E}_{water} = \dot{m}_{water} [c \left( T_{wo} - T_{wi} - T_{\infty} \ln \frac{T_{wo}}{T_{wi}} \right) - \vartheta \Delta P_w] \quad (7)$$

که در این رابطه،  $\tilde{R}$  ثابت گازها،  $\vartheta$  حجم مخصوص آب و  $P$  افت فشار جریان مربوط به آب و یا هوا است که مقدار مثبتی است.

کارآیی انتقال اگررژی مبدل حرارتی بطور مشابه با کارآیی انتقال حرارت بصورت زیر تعریف می‌شود :

$$\varepsilon_{exergy} = \frac{\text{تغییر نرخ اگررژی واقعی}}{\text{بیشترین تغییر نرخ اگررژی ممکن}} \quad (8)$$

برای مبدل‌های حرارتی که در دماهای بالاتر از محیط کار می‌کنند در صورتی که افت فشار صفر در نظر گرفته نشود، کارآیی انتقال اگررژی را بصورت زیر داریم :

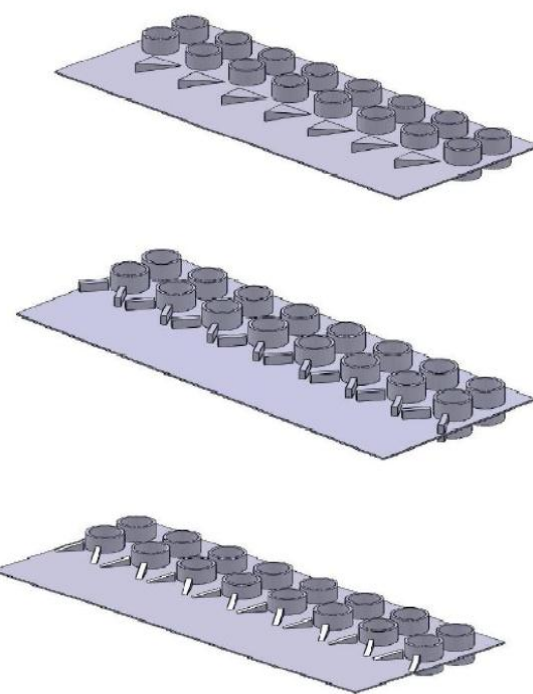
$$\varepsilon_{exergy} = \frac{T_{ao} - T_{ai} - T_{\infty} \ln \frac{T_{ao}}{T_{ai}} - \frac{I \Delta p}{c_p}}{T_{wi} - T_{ai} - T_{\infty} \ln \frac{T_{wi}}{T_{ai}}} \quad (9)$$

که در این معادله برای گاز ایده آل  $I = T_{\infty} \tilde{R} / p_i$ ، و برای مایع تراکم ناپذیر  $\vartheta = I / c_p$  می‌باشد.

نرخ بازگشتناپذیری درون مبدل حرارتی از رابطه زیر، بدست می‌آید :

$$\dot{I} = -\Delta \dot{E}_{water} - \Delta \dot{E}_{air} \quad (10)$$

نرخ بازگشتناپذیری کلی سمت هوا را می‌توان بصورت زیر محاسبه کرد:



شکل ۸: نمای برش خورده مبدل به همراه زائدۀ‌های نصب شده

در اینجا برای محاسبه نرخ انتقال حرارت از رابطه (۱) استفاده می‌شود. دلیل این موضوع این است که تغییر دمای جریان هوا بسیار بزرگ‌تر از تغییر دمایی جریان آب در مبدل حرارتی است، زیرا مقدار ظرفیت حرارتی هوا،  $\dot{m}_{air} c_p$ ، خیلی کوچک‌تر از مقدار مشابه آن در سمت آب یعنی  $\dot{m}_{water} c$ ، است. بنابراین میزان خطا در خواندن دماهای نشانگر دیجیتالی در سمت هوا تاثیر کمتری در نرخ انتقال حرارت محاسبه شده خواهد داشت.

کارآیی مبدل حرارتی با استفاده از رابطه (۳) بدست می‌آید:

$$\varepsilon = \frac{q}{q_{max}} \quad (3)$$

که نرخ انتقال حرارت در صورت کسر مربوط به حرارت سمت هوا، و  $q_{max}$  نیز بیشترین نرخ انتقال حرارت ممکن است که زمانی اتفاق می‌افتد که دمای خروجی هوا با دمای آب ورودی یکسان شود. با توجه با اینکه  $C_{water} > C_{air}$  است، با استفاده از رابطه (۴) داریم :

$$q_{max} = \dot{m}_{air} c_p (T_{wi} - T_{ai}) \quad (4)$$

#### ۴- نتایج و بحث

تفاوتات نرخ انتقال حرارت با اختلاف دمای میانگین برای دبی‌های جرمی مختلف هوای برای مبدل دارای پره مسطح و نیز پره دارای سه نوع زائد در شکل ۹ ارائه شده است. می‌توان مشاهده کرد که نرخ انتقال حرارت با دمای ورودی آب افزایش می‌یابد، به دلیل اینکه اختلاف دمای میانگین بین آب و هوای بیشتر می‌شود. همچنین دبی‌های جرمی بیشتر هوای باعث نرخ‌های انتقال حرارت بیشتری می‌شوند زیرا دبی جرمی بیشتر هوای باعث افزایش ضریب انتقال حرارت جابجاگایی در طرف هوای می‌گردد. بعلاوه می‌توان مشاهده کرد که علیرغم اینکه زائدات از جنس های عایقی ساخته شده‌اند اما استفاده کردن از آنها باعث افزایش انتقال حرارت در تمامی دبی‌ها می‌شود که البته در این میان استفاده از زائدات بلوکی شکل<sup>۳</sup> نرخ انتقال حرارت بیشتری را نسبت به دو نوع دیگر، یعنی زائدات بالهای شکل<sup>۴</sup> و گوهای شکل<sup>۵</sup>، نشان می‌دهند. هرچند در دمای میانگین یکسان، از نظر انتقال حرارت تفاوت چندانی بین زائدات بالهای شکل و گوهای شکل وجود ندارد. این موضوع را می‌توان با افزایش انتقال حرارت از سطوح پره و لوله‌های مبدل حرارت در نتیجه تولید گردابه‌های طولی ناشی از اتصال زائدات به سطوح پره در بالادست جریان توضیح داد. این گردابه‌ها یک جریان ثانویه را ایجاد می‌کنند و رشد لایه مرزی را برهمن می‌زنند که منجر به بهبود انتقال حرارت بین پره و جریان سیال می‌شود. با توجه به این توضیحات و مشاهده شکل ۹ مشخص است که تاثیر این گردابه‌ها در افزایش ضریب انتقال حرارت در زائدات بلوکی شکل نسبت به دو نوع دیگر بیشتر است. بعلاوه این گردابه‌ها جدایی لایه مرزی در پشت لوله‌ها را به تاخیر می‌اندازند که با امتداد بیشتر لایه مرزی و برطرف شدن نواحی انتقال حرارت ضعیف در ناحیه جریان‌های گردابی<sup>۶</sup> شاهد بهبود انتقال حرارت از پره‌ها هستیم. میزان افزایش نرخ انتقال حرارت به ازای مقادیر یکسان اختلاف دمای میانگین در شکل ۱۰ نمایش داده است. در این شکل مشاهده می‌شود که برای هر سه نوع زائد تولید

$$\dot{I}_{AS} = q(1 - T_{\infty}/T_J) - \Delta \dot{E}_{air} \quad (11)$$

که در این رابطه،  $T_J = (T_{wi} + T_{wo})/2$  و  $q$  نیز نرخ انتقال حرارت محاسبه شده است که در اینجا عددی مثبت است.

برای تعیین نرخ بازگشت‌ناپذیری کلی سمت آب هم از رابطه (12) کمک می‌گیریم:

$$\dot{I}_{ws} = -q(1 - T_{\infty}/T_J) - \Delta \dot{E}_{water} \quad (12)$$

بازگشت‌ناپذیریهای ناشی از افت فشار برای جریان‌های هوای و آب با استفاده از رابطه‌های زیر حاصل می‌شود:

$$\dot{I}_{AS,\Delta P} = \dot{m}_{air} T_{\infty} \tilde{R} \frac{\Delta P_a}{P_{ai}} \quad (13)$$

$$\dot{I}_{WS,\Delta P} = \dot{m}_{water} \vartheta \Delta P_w \quad (14)$$

با توجه به روابط بالا، بازگشت‌ناپذیری ناشی از انتقال حرارت در سمت هوای و آب نیز از دو رابطه زیر محاسبه می‌گردد:

$$\dot{I}_{AS,q} = \dot{I}_{AS} - \dot{I}_{AS,\Delta P} \quad (15)$$

$$\dot{I}_{WS,q} = \dot{I}_{WS} - \dot{I}_{WS,\Delta P} \quad (16)$$

عدد بدون بعد ASIHR<sup>۱</sup> که بیانگر نسبت نرخ بازگشت‌ناپذیری سمت هوای به نرخ انتقال حرارت درون مبدل حرارتی است با رابطه زیر تعریف می‌شود:

$$ASIHR = \dot{I}_{AS}/q \quad (17)$$

عدد بدون بعد PVG<sup>۲</sup> نیز که برای بررسی عملکرد زائدات بلوکی تولید گردابه طراحی شده و بصورت درصد کاهش ASIHR برای مبدل حرارت بهمود یافته بوسیله نصب زائدات نسبت به مبدل حرارتی اولیه، تعریف می‌شود بصورت زیر محاسبه می‌گردد:

$$PVG = \frac{100(ASIHR_{without VG} - ASIHR_{with VG})}{ASIHR_{without VG}} \quad (18)$$

و در نهایت عدد رینولدز مربوط به جریان هوای نیز از معادله زیر قابل تعیین شدن است:

$$Re_{AS} = \frac{\dot{m}_{air} d_{tube}}{A_{duct} \mu_{air}} \quad (19)$$

که در آن  $\mu_{air}$  در دمای میانگین جریان هوای بدست می‌آید.

<sup>3</sup> Block Shape VG

<sup>4</sup> Winglet Shape VG

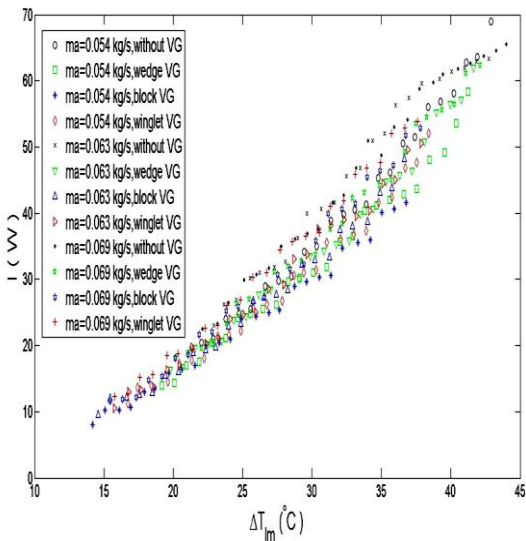
<sup>5</sup> Wedge Shape VG

<sup>6</sup> Wake

<sup>1</sup> Air Side Irreversibility to Heat Transfer Ratio

<sup>2</sup> Performance of Vortex Generator

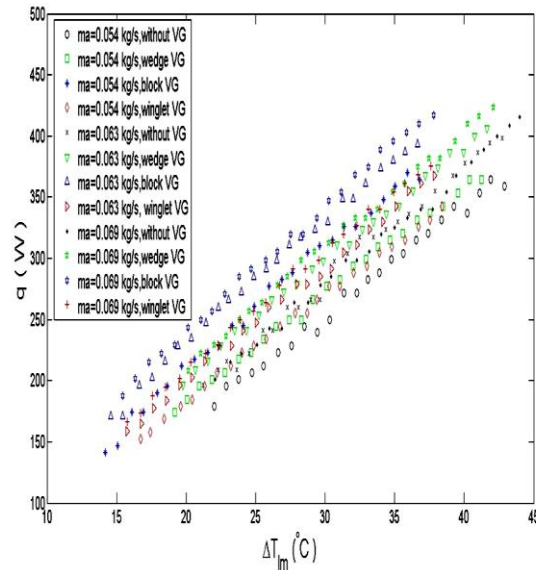
شکل ۱۱ نرخ بازگشتناپذیری درون مبدل حرارتی را بر حسب اختلاف دمای میانگین نشان می‌دهد. با نگاهی دقیق‌تر به این شکل می‌توان دید که افزایش دبی جرمی‌ها منجر به افزایش بازگشتناپذیری کلی در مبدل می‌شود زیرا اختلاف دمای میانگین بین آب و هوای درون مبدل افزایش می‌یابد. همچنین با استفاده از انواع مختلف زائدات، به دلیل بهبود انتقال حرارت و کاهش اختلاف دمای میانگین بین آب و هوای نرخ بازگشتناپذیری کلی کاهش یافته است. در این شکل نیز می‌توان دید که زائداتی بلوكی‌شکل مستطیلی با بهبود بیشتر شرایط انتقال حرارت در اختلاف دمای کمتر بین آب و هوای میزان بازگشتناپذیری را نسبت به دو نوع دیگر بیشتر کاهش می‌دهند.



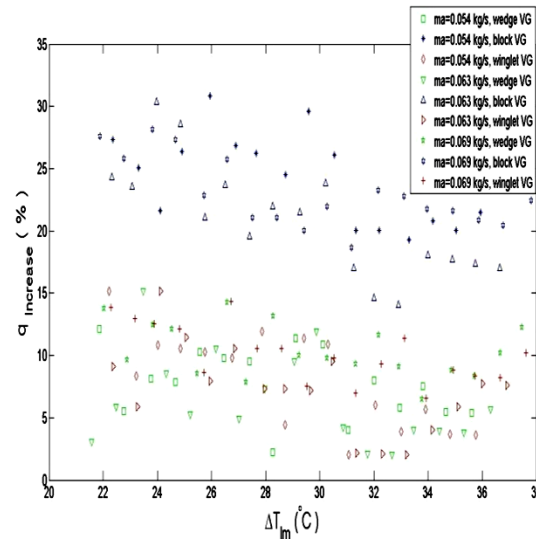
شکل ۱۱- تغییرات نرخ بازگشتناپذیری کلی درون مبدل حرارت بر حسب اختلاف دمای میانگین

شکل ۱۲ تغییرات بازگشتناپذیری بدون بعد شده با انتقال حرارت را بر حسب دمای میانگین آب و هوای نشان می‌دهد. همانطور که در شکل مشاهده می‌کنیم استفاده از انواع مختلف زائدات باعث کاهش بازگشتناپذیری درون مبدل به ازای واحد نرخ انتقال حرارت درون مبدل می‌شود. بعلاوه استفاده از زائداتی بلوكی‌شکل باعث کاهش بیشتر بازگشتناپذیری بدون بعد شده می‌شود. به عبارت دیگر تأثیر زائد بلوكی‌شکل در کاهش بازگشتناپذیری به ازای واحد

گردابه، نرخ انتقال حرارت بین ۳ درصد تا بیش از ۳۰ درصد نسبت به حالت مبدل بدون زائد، افزایش یافته است. همانطور که در شکل ۹ هم می‌توان دید زائداتی بلوكی‌شکل بیشترین تأثیر را در افزایش نرخ انتقال حرارت دارند.



شکل ۹- نرخ انتقال حرارت درون مبدل حرارت بر حسب اختلاف دمای میانگین



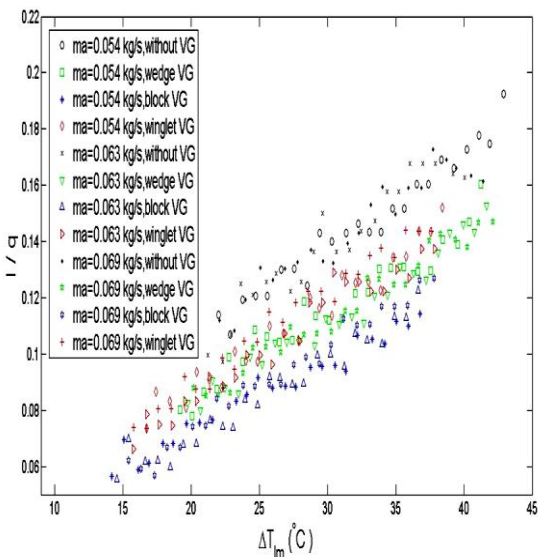
شکل ۱۰- درصد افزایش نرخ انتقال حرارت بر حسب اختلاف دمای میانگین

شکل ۱۳ تغییرات بازگشتناپذیری سمت آب را نسبت به دمای ورودی آب نشان می‌دهد. همانگونه که در این شکل مشاهده می‌کنیم، استفاده از انواع زائددها باعث کاهش بازگشتناپذیری در سمت آب نسبت به حالت بدون زائد می‌گردد. همچنین بازگشتناپذیری سمت آب برای زائددهای بلوکی نسبت به دو نوع دیگر کاهش بیشتری یافته است که نشان‌دهندهی تاثیر بیشتر این نوع زائد در کاهش بازگشتناپذیری سمت آب است، هرچند بازگشتناپذیری سمت آب برای دو نوع دیگر زائددها تقریباً یکسان است و تفاوت چندانی به چشم نمی‌خورد. افزایش نرخ انتقال حرارت و نیز کاهش تغییرات اگزرسی به دلیل کاهش اختلاف دمای محدود در سمت آب می‌تواند دلیل کاهش بازگشتناپذیری سمت آب برای مبدل دارای انواع زائددها باشد.

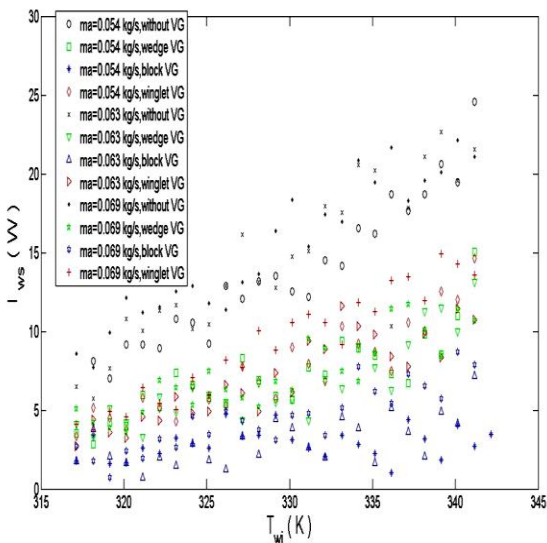
شکل ۱۴ تغییرات بازگشتناپذیری سمت هوا درون مبدل را نسبت به دمای ورودی آب نشان می‌دهد. همانگونه که مشاهده می‌کنیم با افزایش دبی و افزایش اختلاف دمای بین آب و هوا میزان این بازگشتناپذیری افزایش می‌یابد. همچنین مقدار این بازگشتناپذیری برای زائد گوهای شکل نسبت به حالت بدون زائد تغییر محسوسی نمی‌کند، زیرا این زائددها از یک سو باعث کاهش بازگشتناپذیری سمت هوا در به دلیل کاهش اختلاف دمای سیال هوا شده و از سوی دیگر باعث افزایش بازگشتناپذیری سمت هوا در نتیجه افزایش نرخ انتقال حرارت و افزایش افت فشار هوا می‌شوند که در نهایت اثر یکدیگر را خنثی می‌کنند. اما برای دو نوع دیگر، به دلیل زائدی گوهای شکل، شاهد کاهش بیشتر در مقایسه با زائدی گوهای شکل، شاهد کاهش بازگشتناپذیری سمت هوا هستیم که بنظر می‌رسد در این نوع زائددها تاثیر این عامل بیشتر از تاثیر افزایش بازگشتناپذیری به دلیل افزایش نرخ انتقال حرارت باشد.

شکل ۱۵ تغییرات بازگشتناپذیری ناشی از افت فشار در سمت هوا را نسبت به عدد رینولدز جریان هوا نشان می‌دهد. مشاهده می‌کنیم که با افزایش عدد رینولدز جریان هوا مقدار این بازگشتناپذیری افزایش می‌یابد زیرا افت فشار هوا بیشتر می‌شود. همچنین با استفاده از زائددها و به دلیل ایجاد گردابه توسط آنها افت فشار در تمامی دبی‌ها افزایش می‌یابد که در این میان زائددهای بلوکی شکل به دلیل

نرخ انتقال حرارت نسبت به دو نوع دیگر بیشتر است. همچنین به ازای واحد نرخ انتقال حرارت، زائددهای باله شکل نسبت به گوهای شکل به دلیل کاهش بیشتر اختلاف دمای میانگین بین دو سیال آب و هوا، محدودی کمتری از بازگشتناپذیری کلی را به دست می‌دهند.

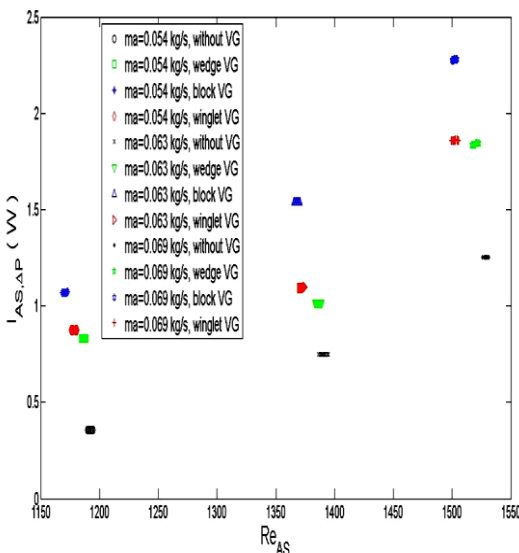


شکل ۱۲- تغییرات بازگشتناپذیری بدون بعد شده درون مبدل حرارت نسبت به اختلاف دمای میانگین

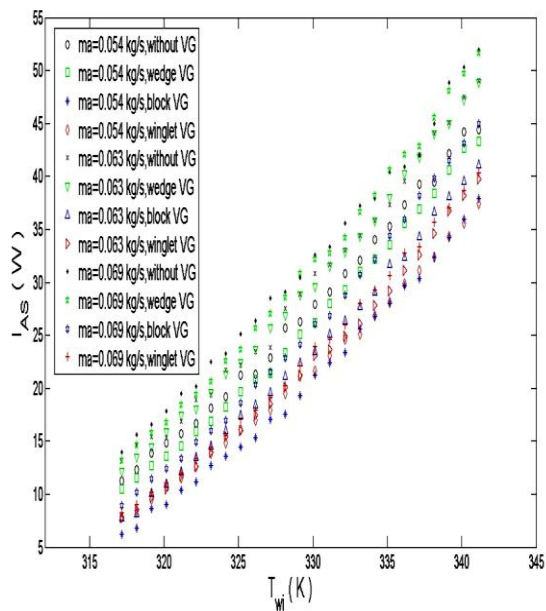


شکل ۱۳- تغییرات بازگشتناپذیری سمت آب نسبت به دمای ورودی آب

اما عامل قویتر یعنی کاهش اختلاف دمای محدود و کاهش بازگشتناپذیری مربوط به آن تاثیر بیشتری دارد.



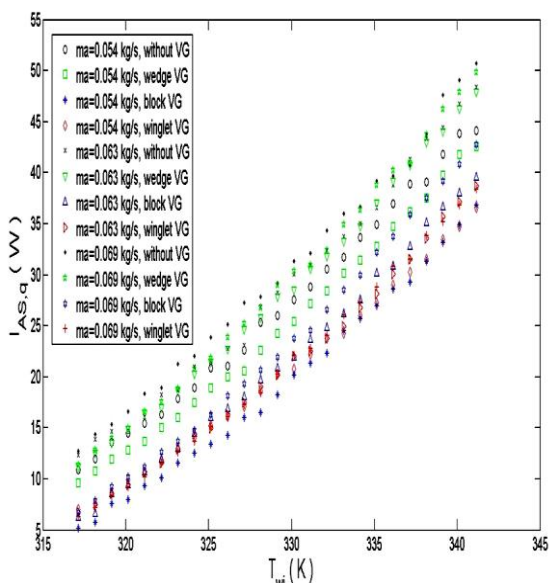
شکل ۱۵- تغییرات بازگشتناپذیری افت فشار سمت هوای نسبت به عدد رینولدز سمت هوای



شکل ۱۴- تغییرات بازگشتناپذیری سمت هوای نسبت به دمای ورودی آب

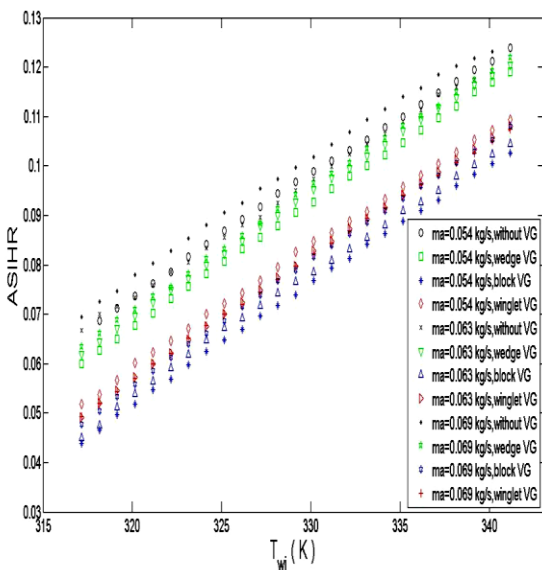
ایجاد گردابهای قویتر که منجر به افزایش ضریب انتقال حرارت و نرخ انتقال حرارت می‌شود، افت فشار هرچند افت فشار و بدنبال آن دارند. زائدۀای بالهای شکل هرچند افت فشار تقریباً بیشتری نسبت به زائدۀای گوهای شکل دارند، اما کاهش اختلاف دما در سمت هوای و به دنبال آن کاهش بازگشتناپذیری مربوط به آن موجب شده است که بازگشتناپذیری سمت هوای در آنها در مقایسه با زائدۀ گوهای شکل کمتر باشد.

شکل ۱۶ تغییرات بازگشتناپذیری ناشی از انتقال حرارت در سمت هوای نسبت به دمای ورودی آب نشان می‌دهد. از آنجا که قسمت عمده بازگشتناپذیری سمت هوای ناشی از انتقال حرارت است، روند نمودار تا حدود زیادی شبیه شکل ۱۶ است. در اینجا نیز می‌توان مشاهده کرد که با استفاده از زائدۀای گوهای شکل تغییر زیادی در بازگشتناپذیری انتقال حرارت سمت هوای رخ نمی‌دهد، زیرا افزایش بازگشتناپذیری ناشی از افزایش انتقال حرارت با کاهش بازگشتناپذیری ناشی از کاهش اختلاف دمای محدود یکدیگر را خنثی می‌کنند. اما برای دو نوع زائدۀ دیگر با وجود افزایش بازگشتناپذیری به دلیل افزایش نرخ انتقال حرارت

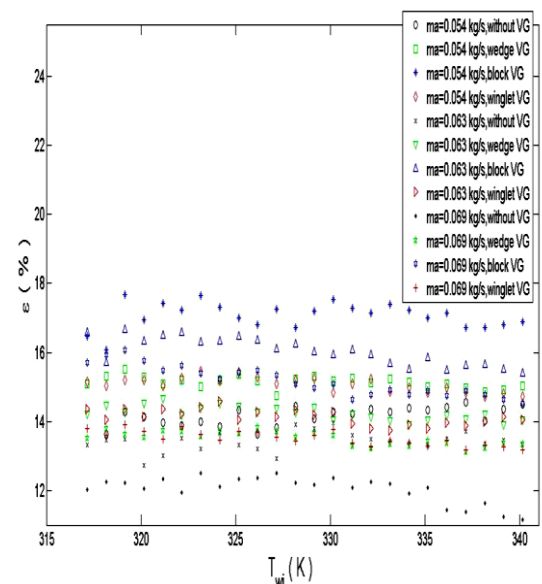


شکل ۱۶- تغییرات بازگشتناپذیری انتقال حرارت سمت هوای نسبت به دمای ورودی آب

مقادیر بیشتر کارآیی حرارتی را به دنبال دارد زیرا در مقادیر کمتر دبی هوا، هوای ورودی زمان بیشتری دارد تا به دمای ورودی آب گرم نزدیکتر شود که این امر افزایش کارآیی مبدل حرارتی را در پی خواهد داشت.



شکل ۱۷- بازگشتناپذیری بی بعد هوا بر حسب دمای ورودی آب

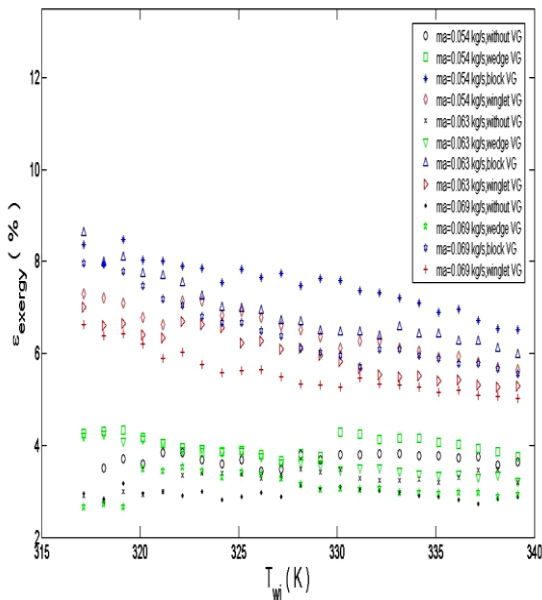


شکل ۱۸- تغییرات کارآیی مبدل حرارتی بر حسب دمای ورودی آب

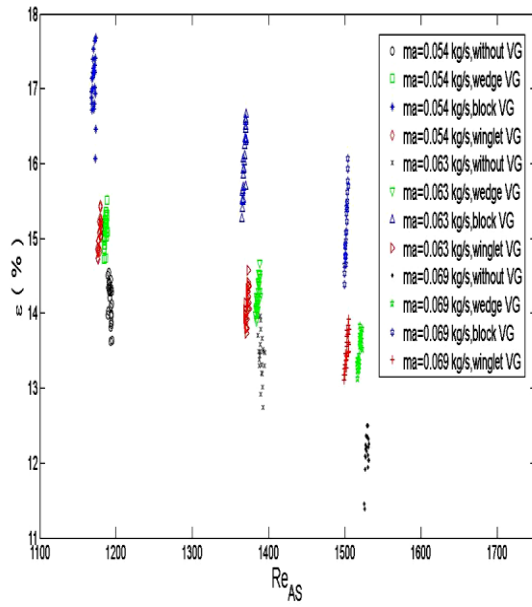
چنانکه در شکل‌های پیشین مشاهده کردیم دلیل اصلی اختلاف دماهای بزرگ بین مایع و گاز در مبدل‌های حرارتی پرهوله‌ای که عامل اصلی ایجاد بازگشتناپذیری است، بازگشتناپذیری ناشی از انتقال حرارت در سمت گاز می‌باشد. از طرفی بهمود انتقال حرارت در سمت هوا منجر به افزایش بازگشتناپذیری سمت هوا می‌شود. بنابراین بدون بعد سازی نرخ بازگشتناپذیری سمت هوا با نرخ انتقال حرارت درون مبدل، می‌تواند کمیت موثری برای بررسی تاثیر روش‌های بهینه سازی بر روی مبدل حرارتی پرهوله‌ای بر اساس تحلیل آگرژری باشد.

شکل ۱۷ تغییرات بازگشتناپذیری بدون بعد سمت هوا را برای مبدل حرارتی مورد آزمایش در حالات مختلف نسبت به دمای ورودی آب نشان می‌دهد. در این شکل می‌بینیم که با افزایش دمای ورودی آب، بازگشتناپذیری بدون بعد هوا نیز افزایش می‌یابد. این حالت بیانگر این مطلب است که اگرچه با افزایش دمای ورودی آب نرخ انتقال حرارت زیاد می‌شود اما افزایش نرخ بازگشتناپذیری سمت هوا بسیار بیشتر از ازدیاد نرخ انتقال حرارت می‌باشد. همچنین مشاهده می‌شود که در اثر استفاده از انواع مختلف زائدۀ‌ها، بازگشتناپذیری بدون بعد هوا مبدل کاهش یافته است، زیرا در اثر استفاده از انواع زائدۀ‌ها علاوه بر اینکه نرخ انتقال حرارت بهبود می‌یابد، نرخ بازگشتناپذیری سمت هوا نیز به دلیل کمتر شدن اختلاف دماهای جریان هوا کاهش می‌یابد. تاثیر این دو عامل در زائدۀ بلوکی شکل نسبت به دو نوع دیگر بیشتر است که این موضوع موجب کاهش بیشتر بازگشتناپذیری بی بعد سمت هوا در این نوع زائدۀ می‌گردد، در حالیکه این پارامتر برای زائدۀ‌های بالهای شکل نیز به دلیل کمتر بودن بازگشتناپذیری سمت هوا در مقایسه با گوهای شکل، کوچکتر است.

شکل ۱۸ کارآیی حرارتی مبدل را بر حسب دمای ورودی آب گرم در حالات مختلف نشان می‌دهد. همانطور که انتظار می‌رود در اثر استفاده از انواع زائدۀ‌ها و افزایش نرخ انتقال حرارت به سمت هوا مبدل، مقدار کارآیی مبدل حرارت کاملاً افزایش یافته است. مبدل حرارتی دارای زائدۀ‌های بلوکی شکل به دلیل افزایش بیشتر نرخ انتقال حرارت بین آب گرم و هوا سرد دارای بیشترین مقدار کارآیی حرارتی است. علاوه از شکل مشخص است که کاهش دبی جرمی هوا،



شکل ۲۰- تغییرات کارآیی انتقال اگزرزی مبدل حرارت بر حسب دمای ورودی آب



شکل ۱۹- کارآیی مبدل حرارتی بر حسب رینولدز جریان هوای

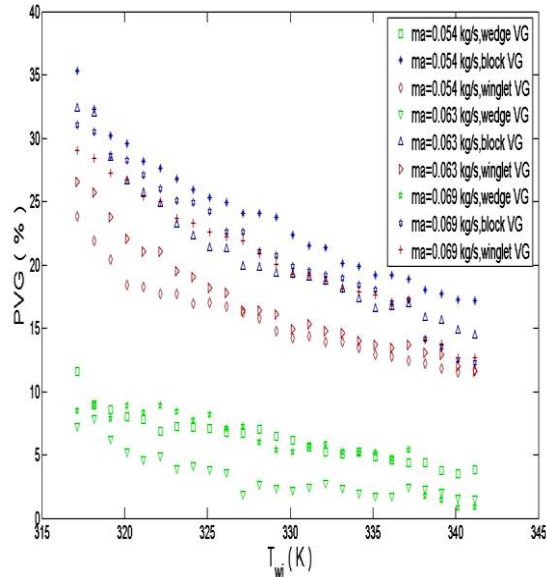
برای آشکار شدن تاثیر انواع مختلف زائددها روی مبدل حرارتی بر اساس بازگشت ناپذیری سمت هوا، از کمیتی به نام PVG استفاده می‌کنیم که برابر با درصد کاهش بازگشت ناپذیری بی بعد هوا برای مبدل بهبود یافته با نصب انواع زائددها نسبت به مبدل اولیه بدون زائد می‌باشد که این کمیت در شکل ۲۱ نشان داده شده است. نتایج نشان می‌دهد که PVG برای تمامی انواع زائددها و دبی‌های جرمی متفاوت هوا حداقل ۵٪ و حداقل ۳۵٪ است، یعنی بازگشت ناپذیری بی بعد سمت هوا برای مبدل حرارت بهبود یافته بیشتر از ۵٪ این مقدار برای مبدل حرارت اولیه که بدون زائد است، کاهش یافته است. این کمیت تحلیل مفیدی از تاثیر مشبت استفاده از زائددها را بر اساس قانون دوم ترمودینامیک می‌دهد. مقادیر بیشتر PVG تاثیر بهتر انواع مختلف زائددها را بر اساس تحلیل اگزرزی روی مبدل حرارتی نشان می‌دهد. بر این اساس مشاهده می‌شود که زائددهای بلوكی شکل بهترین تاثیر را بر اساس کاهش بازگشت ناپذیری و در عین حال افزایش نرخ انتقال حرارت دارند. زائددهای بالهای شکل نیز در بررسی از این دیدگاه نسبت به نوع گوهای شکل تاثیر مطلوبتری در بهبود انتقال اگزرزی به سمت هوا دارند.

شکل ۱۹ کارآیی مبدل حرارتی را بر حسب رینولدز جریان هوای ورودی در حالات مختلف مورد آزمایش نشان می‌دهد. همانطور که این شکل نیز موارد بیان شده در شکل ۱۸ را تایید می‌کند می‌بینیم که استفاده از انواع زائددها به خصوص زائددهای بلوكی شکل باعث افزایش مقادیر کارآیی حرارتی به ازای رینولدز یکسان می‌شوند.

شکل ۲۰ کارآیی اگزرزی مبدل حرارتی را بر حسب دمای ورودی آب نشان می‌دهد. با استفاده از انواع زائددها کارآیی انتقال اگزرزی افزایش یافته است زیرا نرخ انتقال اگزرزی به سمت هوا به دلیل کاهش نرخ بازگشت ناپذیری درون مبدل حرارتی، برای مقدار مشخصی دمای ورودی آب افزایش یافته است. زائددهای بلوكی و بالهای شکل به دلیل کاهش بیشتر نرخ بازگشت ناپذیری سمت هوا و انتقال بیشتر اگزرزی به سمت هوا، در مقایسه با گوهای شکل از حيث کارآیی اگزرزی وضعیت مناسبتری دارند. همچنین این شکل نشان می‌دهد که مقادیر کمتر دبی جرمی هوا کارآیی انتقال اگزرزی بیشتری دارند، زیرا در دبی‌های جرمی کمتر هوا، هوای ورودی زمان بیشتری برای به دست آوردن بیشترین اگزرزی ممکن که در آن دمای خروجی هوا با دمای ورودی آب مساوی است، دارد.

روی سطوح پره‌ها، کارآبی افزایش می‌یابد. زائددهای بلوکی شکل میزان کارآبی‌ها را بیشتر افزایش می‌دهند.  
۴. بر اساس تحلیل اگرژی انجام شده روی مبدل، مقدار کارآبی زائد (PVG) نشان می‌دهد که زائددهای تولید گردابه چطور باعث کارکرد بهتر مبدل حرارتی می‌شود. در این مقاله مقدار PVG برای تمام شرایط بین ۵ تا ۳۵ درصد است که نشان دهنده تاثیر این روش بهینه‌سازی در کاهش بازگشت‌نایپذیری سمت هوا است. زائددهای بلوکی و بالهای شکل تاثیر بیشتری نسبت به زائددهای گوهای شکل در بهبود این پارامتر دارند.

علائم و نشانه‌ها	
اگرژی W	E
بازگشت‌نایپذیری W	I
دبی جرمی kg/s	ṁ
فشار Pa	P
نرخ انتقال حرارت W	q
دما K	K
حروف یونانی	
حجم مخصوص m³/kg	θ
لزجت دینامیکی kg/m.s	μ
کارآبی %	ε
افت فشار Pa	ΔP
زیر نویس‌ها	
سیال هوا	a
ورودی هوا به مبدل	ai
خروجی هوا از مبدل	ao
سمت هوای مبدل	AS
میانگین لگاریتمی بیشینه	lm
ناشی از انتقال حرارت	max
سیال آب	q
ورودی آب به مبدل	w
خروجی آب از مبدل	wi
سمت آب مبدل	wo
شرایط محیط	WS
ناشی از افت فشار	Δp



شکل ۲۱: تغییرات PVG بر حسب دمای ورودی آب

## ۵- نتیجه‌گیری

در این مقاله تاثیر سه نوع مختلف زائده تولید گردابه را روی یک مبدل حرارت پره‌لوله‌ای گاز مایع با استفاده از تحلیل اگرژی بررسی شد. مهمترین نتایج به شرح زیر می‌باشد:

۱. استفاده کردن از زائددها، موجب بهبود انتقال حرارت از سطوح پره‌ها و نیز کاهش بازگشت‌نایپذیری کلی مبدل حرارتی می‌گردد. در این میان زائددهای بلوکی شکل بیشترین تاثیر را در بهبود شرایط انتقال حرارت و کاهش بازگشت‌نایپذیری دارند. علت این موضوع تولید گردابه‌های طولی شدیدتر و طولانی تر توسط زائددهای بلوکی در اثر عبور جریان از روی آنها و همچنین کمک به اختلاط بهتر جریان در ناحیه جریان‌های گردابی نسبت به دو نوع دیگر است.
۲. بی‌بعدسازی بازگشت‌نایپذیری سمت هوا بوسیله‌ی نرخ انتقال حرارت صورت گرفت. در اثر استفاده از انواع زائددها این پارامتر (ASIHR)، کاهش می‌یابد. زائددهای بلوکی و بالهای شکل بیشترین تاثیر را در کاهش این پارامتر دارند.
۳. کارآبی انتقال حرارت و اگرژی مبدل حرارت رفتارهای مشابهی دارند. در هر دوی آنها با استفاده کردن از زائددها

- [10] Song W.M, Meng J.A, Li Z.X (2010) Numerical study of air-side performance of a finned flat tube heat exchanger with crossed discrete double inclined ribs. *Appl Therm Eng* 30: 1797–1804.
- [11] Biswas G, Mitra NK, Fiebig M (1994) Heat transfer enhancement in fin-tube heat exchangers by winglet type vortex generators. *Int J Heat Mass Transf* 37: 283–291.
- [12] Chen Y, Fiebig M, Mitra NK (1998) Heat transfer enhancement of a finned oval tube with punched longitudinal vortex generators in-line. *Int J Heat Mass Transf* 41: 4151–4166.
- [13] Chen Y, Fiebig M, Mitra NK (2000) Heat transfer enhancement of a finned oval tube with staggered punched longitudinal vortex generators. *Int J Heat Mass Transf* 43: 417–435.
- [14] Kotcioglu I, Caliskan S, Cansiz A, Baskaya S (2010) Second law analysis and heat transfer in a cross flow heat exchanger with a new winglet-type vortex generator. *Energy* 35: 3686–3695.
- [15] Leu JS, Wu YH, Jang JY (2004) Heat transfer and fluid flow analysis in plate-fin and tube heat exchangers with a pair of block shape vortex generators. *Int J Heat Mass Transf* 47: 4327–4338.
- [16] Fiebig M, Valencia A, Mitra NK (1993) Wing-type vortex generators for fin-and-tube heat exchangers. *Exp Therm Fluid Sci* 7: 287–295.
- [17] Valencia A, Fiebig M, Mitra NK (1996) Heat transfer enhancement by longitudinal vortices in a fin-and-tube heat exchangers element with flat tubes. *ASME J Heat Transfer* 118: 209–211.
- [18] Zhang YH, Wu X, Wang LB, Song KW, Dong YX, Liu S (2008) Comparison of heat transfer performance of tube bank fin with mounted vortex generators to tube bank fin with punched vortex generators. *Exp Therm Fluid Sci* 33: 58–66.
- [19] Wu SY, Yuan XF, Li YR, Xiao L (2007) Exergy transfer effectiveness on heat exchanger for finite pressure drop. *Energy* 32: 2110–2120.

## مراجع

- [1] Kakac S, Liu H (2002) Heat exchangers: selection, rating, and thermal design. 2nd edn. CRC Press .
- [2] Junqi D, Jiangping C, Zhijiu C, Yimin Z, Wenfeng Z (2007) Heat transfer and pressure drop correlations for the wavy fin and flat tube heat exchangers. *Appl Therm Eng* 27: 2066–2073.
- [3] Tao YB, He YL, Huang J, Wu ZG, Tao WQ (2007) Numerical study of local heat transfer coefficient and fin efficiency of wavy fin-and-tube heat exchangers. *Int J Therm Sci* 46: 768–778.
- [4] Tao YB, He YL, Huang J, Wu ZG, Tao WQ (2007) Three-dimensional numerical study of wavy fin-and-tube heat exchangers and field synergy principle analysis. *Int J Heat Mass Transf* 50: 1163–1175.
- [5] Peng H, Ling X (2011) Analysis of heat transfer and flow characteristics over serrated fins with different flow directions. *Energy Conversion and Management* 52: 826–835.
- [6] Nuntaphan A, Vithayasaai S, Kiatsiriroat T, Wang CC (2007) Effect of inclination angle on free convection thermal performance of louver finned heat exchanger. *Int J Heat Mass Transf* 50: 361–366.
- [7] Dong J, Chen J, Chen Z, Zhang W, Zhou Y (2007) Heat transfer and pressure correlations for the multi-louvered fin compact heat exchangers. *Energy Conversion and Management* 48: 1506–1515.
- [8] T Joen C, Jacobi A, De Paepe M (2009) Flow visualization in inclined louvered fins. *Exp Therm Fluid Sci* 33: 664–674.
- [9] Li J, Wang S., Chen J, Lei Y.G (2011) Numerical study on a slit fin-and-tube heat exchanger with longitudinal vortex generators. *Int J Heat Mass Transf* 54: 1743–1751.